

·研究简报·

## 鬼臼毒素 4 含硫衍生物的合成及其拒食活性

陈利标<sup>1</sup>, 闫海燕<sup>1</sup>, 冯俊涛<sup>1,2</sup>, 李广泽<sup>1\*</sup>, 田 喆<sup>3</sup>, 张 兴<sup>1,2</sup>

(1. 西北农林科技大学 无公害农药研究服务中心, 陕西 杨凌 712100; 2. 陕西省生物农药工程技术研究中心, 陕西 杨凌 712100; 3. 兰州大学 功能有机分子化学国家重点实验室, 甘肃 兰州 730000)

**摘要:**为研究鬼臼毒素类化合物结构与杀虫活性的关系,在前期研究基础上设计合成了3个4-硫酯-4脱氧鬼臼毒素、2个4-硫醚-4脱氧鬼臼毒素及4-巯基-4脱氧鬼臼毒素共6个未见文献报道的化合物。其结构经IR、MS、<sup>1</sup>H NMR和元素分析确证。采用小叶碟添加法测试了化合物对3龄粘虫*Mythimna separata*幼虫的拒食活性,结果表明:4-巯基-4脱氧鬼臼毒素的活性最高,24和48 h的AFC<sub>50</sub>(拒食中浓度)分别为164.6和248.1 mg/L,分别是母体化合物鬼臼毒素活性的5.8和3.0倍。引入硫醚及硫酯后活性均降低。

**关键词:**鬼臼毒素衍生物; 4-巯基-4脱氧鬼臼毒素; 合成; 粘虫; 拒食活性

中图分类号: R284.2; S482.38 文献标识码: A 文章编号: 1008-7303(2006)04-0359-04

## Synthesis and Antifeedant Activity of Podophyllotoxin Analogues with 4-Sulfur Substituted Groups

CHEN Li-biao<sup>1</sup>, YAN Hai-yan<sup>1</sup>, FENG Jun-tao<sup>1,2</sup>, LI Guang-ze<sup>1\*</sup>, TIAN Xuan<sup>3</sup>, ZHANG Xing<sup>1,2</sup>

(1. Bi rational Pesticide R&D Center of Northwest Sci-tech University of Agriculture and Forestry,

2. Shaanxi Research Center of Biopesticide Technology and Engineering, Yangling 712100, China;

3. Key State laboratory of Applied Organic Chemistry, Lanzhou University, Lanzhou 730000, China)

**Abstract:** Three 4-thioester-4-deoxypodophyllotoxins, two 4-thioether-4-deoxypodophyllotoxins and one 4-thiol-4-deoxypodophyllotoxin were synthesized, and their structures were confirmed by IR, MS, <sup>1</sup>H NMR and elemental analysis. The 24 h and 48 h antifeedant activities against the 3rd larvae of *Mythimna separata* were assayed with leaf-disk method. The bioassay results showed that 4-thiol-4-deoxypodophyllotoxin had the highest activity among synthesized compounds. Its 24 h and 48 h AFC<sub>50</sub> (concentration for 50% antifeedant activity) were 164.6 and 248.1 mg/L, 5.8 and 3.0 times of that of podophyllotoxin, respectively. 4-Thioester and 4-thioether derivatives had relative lower activities than the others.

**Key words:** podophyllotoxin analogues; 4-thiol-4-deoxypodophyllotoxin; synthesis; *Mythimna separata*; antifeedant activity

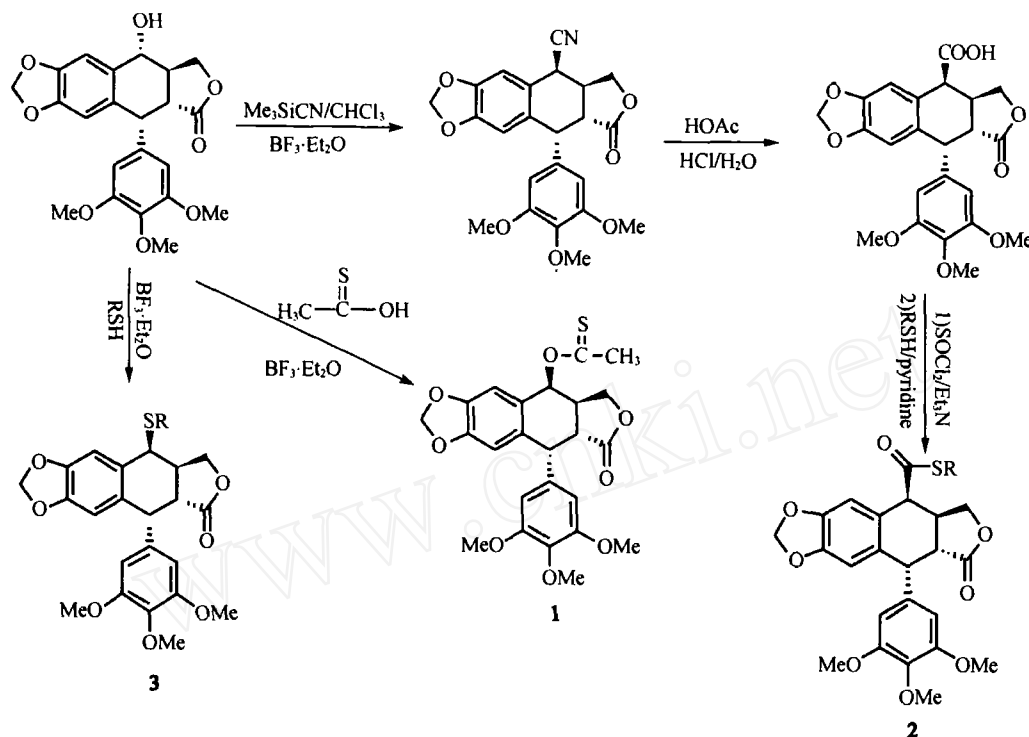
收稿日期: 2006-07-18; 修回日期: 2006-10-05.

作者简介: 陈利标(1981-),男,硕士研究生; \*通讯作者: 李广泽(1977-),男,博士,讲师,主要从事天然产物农药与化学生态领域的研究和教学工作。联系电话: 029-87091884; Email: liguangze@126.com

基金项目: 国家西部开发重大项目(2004BA901A14); 西北农林科技大学科研专项。

为探讨鬼臼毒素类化合物结构与杀虫活性的关系,在前文<sup>[1,2]</sup>基础上,以鬼臼毒素为原料,合成

了一系列4位硫酯和硫醚取代产物,并测试了其对粘虫幼虫的拒食活性。合成路线如下:



## 1 合成实验

### 1.1 仪器与试剂

X-4型熔点仪(温度计未校正); HP 5988型四极杆质谱仪; Esquire 3000plus型ESI-MS; Nicolet AVATAR 360 FT-IR型红外光谱仪; Elementar Analysensysteme GmbH VarioEL元素分析仪; Perkin Elmer Model 341 Polarimeter型旋光仪; Varian Mercury 300 BB型核磁共振仪。所用试剂均为市售AR级或CP级。鬼臼毒素和脱氧鬼臼毒素是从砂地柏中提纯得到,其物理数据及鉴定见文献<sup>[3,4]</sup>。

### 1.2 4 硫代乙酰基-4脱氧鬼臼酯(1)的合成<sup>[5]</sup>

将等摩尔的鬼臼毒素和硫代乙酸悬浮于二氯甲烷中(鬼臼毒素1g约用30mL),在冰盐浴(-15℃)下冷却,滴加BF<sub>3</sub>·Et<sub>2</sub>O溶液(鬼臼毒素1g约用500μL),反应1h后加入与BF<sub>3</sub>·Et<sub>2</sub>O等摩尔的吡啶,继续搅拌10min。水洗,有机层经无水硫酸钠干燥后蒸除溶剂,所得固体用丙酮-甲醇(1:3,体积比)重结晶,得白色固体物。

### 1.3 4 硫酯-4脱氧鬼臼毒素(2a, 2b)的合成<sup>[6]</sup>

将1.0g鬼臼毒素溶解在100mL干燥氯仿中,加入0.2mL三甲基氰硅烷冰浴冷却至-15℃以下,缓慢滴加0.45mL BF<sub>3</sub>·Et<sub>2</sub>O(约1h滴完),保温反应2h。滴加0.45mL吡啶继续搅拌5min。依次用碳酸氢钠水溶液、水、盐水洗涤,无水硫酸钠干燥,硅胶柱层析分离得氰基表鬼臼毒素。按照1g氰基表鬼臼加60mL乙酸、10mL盐酸和10mL水的比例在75℃下回流3h得表鬼臼酸。取其500mg溶于25mL二氯甲烷中,加入1~1.5mL三乙胺,室温下慢慢滴加1~1.5mL二氯亚砜,搅拌反应30min后,在低于30℃下旋转蒸发脱去溶剂,加入5mL二氯甲烷和1~1.5mL吡啶,搅拌,加入30~35mmol硫醇,继续反应4~10h。产物经250mL二氯甲烷稀释后,依次用冷饱和碳酸氢钠溶液、水、饱和食盐水洗涤,无水硫酸钠干燥,柱色谱[以200~300目硅胶为填料,二氯甲烷-丙酮=20:1,(体积比)为洗脱剂]分离得目标物。

### 1.4 4 硫醚-4脱氧鬼臼毒素(3a~3c)的合成通法<sup>[7]</sup>

等摩尔的鬼臼毒素和硫醇悬浮于二氯甲烷中

(鬼臼毒素 1 g 约用 30 mL 二氯甲烷), 在冰盐浴下冷却至 -15 ℃ 以下, 滴加  $\text{BF}_3 \cdot \text{Et}_2\text{O}$  (鬼臼毒素 1 g 约用 500  $\mu\text{L}$ ) 溶液。反应 1 h 后加入与  $\text{BF}_3 \cdot \text{Et}_2\text{O}$  等摩尔的吡啶, 继续搅拌 10 min。水洗, 无水硫酸钠干燥, 脱溶, 氯仿-甲醇 (1:3, 体积比) 重结晶

得白色固体物。

### 1.5 化合物的结构鉴定

目标化合物的物理常数和波谱数据见表 1 至表 3。参照文献 [9] 构型确定方法, 因目标化合物的  $J_{3,4}$  均在 3~6 Hz 之间, 故确定为 4 构型。

Table 1 Physical and MS data of compounds

Compd	R	Yield (%)	M p /	$[\alpha]_D^{25}, \text{CHCl}_3 / (\circ)$	MS (EI and ESI), m/z (int%)
1	-	45	188~190	-139 ( $c=0.51$ )	472 ( $M^+$ , 66), 429 (72), 397 (65)
2a	n-C <sub>3</sub> H <sub>7</sub>	35	193~195	-58 ( $c=0.53$ )	500 ( $M^+$ , 3), 396 (2), 229 (6), 195 (14), 149 (16), 43 (100)
2b*	4-CH <sub>3</sub> -C <sub>6</sub> H <sub>4</sub>	39	216~218	-97 ( $c=0.49$ )	570.9 [ $M + \text{Na}]^+$ , 565.9 [ $M + \text{NH}_4]^+$ , 548.8 [ $M + 1]^+$ , 393.0, 331.0, 273.9, 224.8, 101.8
3a	H	75	98~100	-138 ( $c=0.63$ )	430 ( $M^+$ , 100), 397 (64)
3b	CH <sub>3</sub>	64	220~222	-68 ( $c=0.57$ )	444 ( $M^+$ , 100), 397 (100)
3c	C <sub>2</sub> H <sub>5</sub>	59	138~140	-143 ( $c=0.62$ )	458 ( $M^+$ , 100), 397 (100)

2b\* MS was analyzed with ESIMS.

Table 2 IR and elemental analytical data of compounds

Compd	IR (KB r), /cm <sup>-1</sup>	Elemental analysis (Calcd, %)		
		C	H	S
1	1 777, 1 690, 1 588, 1 506, 1 482, 1 456, 1 235, 1 129, 934, 628	61.33 (61.01)	5.05 (5.12)	6.99 (6.79)
2a	1 776, 1 675, 1 588, 1 506, 1 485, 1 466, 1 330, 1 238, 1 211, 1 124, 1 038, 935, 849, 784, 702, 604	62.41 (62.39)	5.74 (5.64)	6.33 (6.41)
2b	1 776, 1 694, 1 588, 1 503, 1 484, 1 458, 1 419, 1 330, 1 236, 1 215, 1 125, 1 036, 984, 850, 810,	65.71 (65.68)	5.32 (5.14)	5.52 (5.84)
3a	2 580, 1 776, 1 583, 1 506, 1 480, 1 236, 1 126, 668	61.43 (61.38)	5.22 (5.16)	7.31 (7.45)
3b	1 771, 1 589, 1 506, 1 482, 1 328, 1 234, 1 124, 934	62.44 (62.15)	5.21 (5.44)	7.10 (7.21)
3c	1 776, 1 587, 1 506, 1 481, 1 457, 1 419, 1 328, 1 236, 1 126, 936	62.59 (62.87)	5.70 (5.72)	6.78 (6.99)

## 2 对粘虫幼虫的拒食活性测定

采用小叶碟添加法<sup>[8]</sup> 测试了供试化合物对粘虫幼虫 24 和 48 h 的拒食活性(见表 4)。试虫由西北农林科技大学无公害农药研究服务中心养虫室( $T = (25 \pm 2)$  ℃; R.H. = 65%~80%; L/D = 12h:12h) 提供, 试验时挑取生长发育状态一致、健康的 3 龄初期幼虫供试。

从表 4 可以看出, 4-巯基-4脱氧鬼臼毒素(3a)的活性最高, 24 和 48 h 的 A FC<sub>50</sub> (拒食中浓度) 分别为 164.6 和 248.1 mg/L, 分别是母体化合物鬼臼毒素活性的 5.8 和 3.0 倍, 是对照脱氧鬼臼毒素活性的 4.2 和 2.5 倍。3a 是目前所合成的鬼臼毒素衍生物中活性最好的化合物<sup>[1,2]</sup>, 值得进

一步研究。

4 位分别被硫醚化和醚化后, 其拒食活性存在明显差异。硫醚化产物对粘虫的拒食活性降低; 而醚化后活性提高, 但醚化产物随侧链烷基长度增加而活性降低<sup>[1]</sup>。本研究表明: 4-甲硫基-4-脱氧鬼臼毒素(3b)和 4-乙硫基-4-脱氧鬼臼毒素(3c)对粘虫 24 h 和 48 h 的拒食活性均低于鬼臼毒素和脱氧鬼臼毒素。

4 位硫酯化和酯化产物的活性均低于母体化合物鬼臼毒素, 且硫酯化产物的活性低于酯化产物<sup>[1]</sup>。推测可能是由于 4 酯化产物水溶性降低和位阻增大所致。

Table 3  $^1\text{H}$  NMR data of compounds

Compd	$^1\text{H}$ NMR ( $\text{CDCl}_3$ ),
<b>1</b>	2.43(3H, s, $\text{SCOCH}_3$ ), 2.95(1H, dd, $J = 11.2, 3.4$ Hz, 2-H), 3.03~3.41(1H, m, 3-H), 3.77(6H, s, 3, 5-OCH <sub>3</sub> ), 3.83(3H, s, 4-OCH <sub>3</sub> ), 4.36~4.39(2H, m, 11-H), 4.56(1H, d, $J = 5.6$ Hz, 1-H), 5.03(1H, d, $J = 4.8$ Hz, 4-H), 5.96(2H, d, $J = 4.8$ Hz, O-CH <sub>2</sub> -O), 6.29(2H, s, 2, 6-H), 6.45(1H, s, 8-H), 6.78(1H, s, 5-H)
<b>2a</b>	0.97~1.06(3H, m, $\text{CH}_2\text{CH}_2\text{CH}_3$ ), 1.58~1.84(2H, m, $\text{CH}_2\text{CH}_2\text{CH}_3$ ), 2.83~2.91(1H, m, $\text{CH}_2\text{CH}_2\text{CH}_3$ ), 3.30~3.31(2H, m, 2, 3-H), 3.73(6H, s, 3, 5-OCH <sub>3</sub> ), 3.76(3H, s, 4-OCH <sub>3</sub> ), 3.88(1H, d, $J = 4.4$ Hz, 11-H), 4.08(1H, d, $J = 4.4$ Hz, 11-H), 4.28~4.47(2H, m, 1, 4-H), 6.02(2H, d, $J = 4.5$ Hz, O-CH <sub>2</sub> -O), 6.12(2H, s, 2, 6-H), 6.51(1H, s, 8-H), 7.13(1H, s, 5-H)
<b>2b</b>	2.17(3H, s, $\text{CH}_3\text{C}_6\text{H}_6$ ), 3.31~3.44(2H, m, 2, 3-H), 3.68(6H, s, 3, 5-OCH <sub>3</sub> ), 3.83(3H, s, 4-OCH <sub>3</sub> ), 3.89(1H, d, $J = 6.3$ Hz, 11-H), 4.15(1H, d, $J = 6.3$ Hz, 11-H), 4.42(1H, d, $J = 5.2$ Hz, 4-H), 4.58(1H, d, $J = 4.6$ Hz, 1-H), 5.96(2H, d, $J = 4.3$ Hz, O-CH <sub>2</sub> -O), 6.18(2H, s, 2, 6-H), 6.53(1H, s, 8-H), 7.16(1H, s, 8-H), 7.08~7.40(4H, m, $\text{C}_6\text{H}_6$ )
<b>3a</b>	2.32~2.67(1H, m, 3-H), 2.86(1H, dd, $J = 10.8, 4.6$ Hz, 2-H), 3.73(6H, s, 3, 5-OCH <sub>3</sub> ), 3.78(3H, s, 4-OCH <sub>3</sub> ), 4.21(1H, d, $J = 3.8$ Hz, 11-H), 4.40(1H, d, $J = 4.8$ Hz, 1-H), 4.38~4.43(1H, m, 11-H), 4.59(1H, d, $J = 5.6$ Hz, 4-H), 5.98(2H, d, $J = 4.2$ Hz, O-CH <sub>2</sub> -O), 6.27(2H, s, 2, 6-H), 6.46(1H, s, 8-H), 6.93(1H, s, 5-H)
<b>3b</b>	2.16(3H, s, $\text{S-CH}_3$ ), 3.00~3.29(1H, m, 3-H), 3.26~3.29(1H, m, 2-H), 3.74(6H, s, 3, 5-OCH <sub>3</sub> ), 3.79(3H, s, 4-OCH <sub>3</sub> ), 4.15(1H, d, $J = 4.5$ Hz, 11-H), 4.39(1H, s, 1-H), 4.41(1H, d, $J = 4.5$ Hz, 11-H), 4.54(1H, d, $J = 4.8$ Hz, 4-H), 5.94(2H, d, $J = 4.9$ Hz, O-CH <sub>2</sub> -O), 6.28(2H, s, 2, 6-H), 6.43(1H, s, 8-H), 6.94(1H, s, 5-H)
<b>3c</b>	1.25(3H, t, $J = 5.5$ Hz, $\text{SCH}_2\text{CH}_3$ ), 2.53(2H, q, $\text{SCH}_2\text{CH}_3$ ), 2.70~2.98(1H, m, 3-H), 3.23~3.26(1H, m, 2-H), 3.74(6H, s, 3, 5-OCH <sub>3</sub> ), 3.80(3H, s, 4-OCH <sub>3</sub> ), 4.00~4.03(1H, m, 11-H), 4.38(1H, d, $J = 4.8$ Hz, 1-H), 4.21~4.61(1H, m, 11-H), 4.54(1H, d, $J = 5.1$ Hz, 4-H), 5.99(2H, d, $J = 4.6$ Hz, O-CH <sub>2</sub> -O), 6.37(2H, s, 2, 6-H), 6.42(1H, s, 8-H), 6.92(1H, s, 5-H)

Table 4 Antifeedant activity of compounds against the 3rd-instar *M. ythimna* separata

Compd	24 h			48 h		
	AFC-P (y=)	AFC <sub>50</sub> / (mg/L) (95% CL)	Correlation coefficient	AFC-P (y=)	AFC <sub>50</sub> / (mg/L) (95% CL)	Correlation coefficient
<b>1</b>	4.6843+0.5635x	3.634(937.5~14091)	0.9766	4.8312+0.6893x	1758(763.2~4048)	0.9863
<b>2a</b>	2.6478+0.6752x	3.045(1338~6929)	0.9901	3.3741+0.4816x	2378(774.4~7299)	0.9946
<b>2b</b>	4.7722+0.3928x	3.801(1206~16063)	0.9575	4.5177+0.8564x	3657(920.0~8324)	0.9717
<b>3a</b>	5.7969+1.0169x	164.6(89.0~302.6)	0.9725	5.7225+1.1935x	248.1(161.0~380.7)	0.9978
<b>3b</b>	3.8024+0.6260x	81.842(4476~149647)	0.9505	4.3731+0.4681x	21.846(1758~271531)	0.9119
<b>3c</b>	4.5919+1.6812x	1749(1305~2343)	0.9655	4.8164+1.7167x	1279(916.0~1787)	0.9873
Podophyllotoxin	-0.6188+1.8835x	962.1(711.8~1300.4)	0.9737	5.1510+1.1926x	747.1(484.9~1150)	0.9968
Deoxypodophyllotoxin	5.2244+1.4016x	691.6(463.6~1031.6)	0.9915	5.3175+1.5065x	615.5(416.0~910.2)	0.9701

## 参考文献:

- [1] LI Guang-ze(李广泽), TIAN Xuan(田勋), FENG Jun-tao(冯俊涛), et al 4-醋代-4脱氧鬼臼毒素和4-醚代-4脱氧鬼臼毒素的合成及对粘虫幼虫的拒食活性 [J]. Chin J Pestic Sci(农药学学报), 2005, 7(4): 364-367.
- [2] LI Guang-ze(李广泽), FENG Rui-hong(冯瑞红), CHEN Li-biao(陈利标), et al 4-卤代-4脱氧鬼臼毒素和4氨基-4脱氧鬼臼毒素的合成及其拒食活性 [J]. Chin J Pestic Sci(农药学学报), 2006, 8(1): 87-90.
- [3] WANG Ji-dong(王继栋), TIAN Xuan(田勋), ZHANG Xing(张兴). 砂地柏中鬼臼毒素的分离与鉴定 [J]. Acta Univ Agric Boreali-occidentalis(西北农业大学学报), 2000, 28(6): 25-29.
- [4] Gao Rong, Gao C F, Tian X, et al Insecticidal activity of deoxypodophyllotoxin, isolated from *Juniperus sabina* L, and related lignans against larvae of *Pieris rapae* L [J]. Pest Manag Sci, 2004, 60: 1131-1136.
- [5] YIN Shu-fan(尹述凡), WANG Zhi-guang(王志光), MA Wei-yong(马维勇), et al 4-O-卤代酰基-4-去甲基表鬼臼毒素类似物的合成与抗肿瘤活性 [J]. Acta Pharmaceutica Sinica, 1993, 28(10): 758-761.
- [6] CHEN Zai-xin(陈再新), MA Wei-yong(马维勇), CHEN Xiu-hua(陈秀华), et al 4-硫酯-4脱氧-4-去甲基表鬼臼毒素衍生物的合成及其抗肿瘤活性 [J]. Chinese J Medic Chem, 2000, 36(2): 84-87.
- [7] WANG Zhi-guang(王志光), MA Wei-yong(马维勇), ZHANG Chun-nian(张椿年). 4巯基-4脱氧-4-去甲表鬼臼毒素的立体控制合成 [J]. Acta Chimica Sinica, 1992, 50: 698-701.
- [8] ZHANG Xing(张兴), CHIU Shin-foon(赵善欢). 檉科植物对几种害虫的拒食和忌避作用 [J]. J South China Agric Univ(华南农学院学报), 1983, 4(3): 1-7.
- [9] Kuhn M, Keller J C, von Warburg A. Partial synthese von 4-demethyllepidopodophyllotoxin [J]. Helv Chim Acta, 1969, 52(4): 944-947.

(Ed. JIN S H)